



دانشگاه بیرجند

دانشکده علوم

پایان نامه کارشناسی ارشد فیزیک هسته ای

عنوان:

شبیه سازی نوترون های گسیل شده از شکافت با استفاده از روش مونت کارلو

اساتید راهنما:

دکتر محمد مهدی فیروز آبادی

دکتر حسین فراشباشی مسجد

استاد مشاور:

نقیسه شایان شکیب

نگارش:

مهدی بخش آبادی

اسفند ۱۳۸۹

بِسْمِ اللّٰهِ الرَّحْمٰنِ الرَّحِیْمِ

"کلیه حقوق اعم از تکثیر، چاپ، نسخه برداری، اقتباس و ... این پایان نامه، متعلق به دانشگاه بیرجند است و هر گونه سوء استفاده از آن پیگرد قانونی دارد.نقل مطالب با ذکر مأخذ بلامانع است."

تقدیم به

پدر و مادرم

سپاسگزاری

با تقدیر و سپاس از اساتید بزرگوار جناب آقای دکتر محمد مهدی فیروزآبادی و جناب آقای دکتر حسین فراشباشی مسجد که در تمام مراحل این پایان‌نامه از دانش و تجربه ایشان بهره برده‌ام. از خداوند متعال برای ایشان توفیق روز افزون و طول عمر مسألت دارم.

همچنین از سرکارخانم نفیسه شایان شکیب که مشاوره این پروژه را بر عهده داشتند، کمال تشکر و قدردانی را دارم.

همچنین از اساتید گرانقدر جناب آقای دکتر عابدی و جناب آقای دکتر خراشادیزاده که داوری این پایان‌نامه را بر عهده گرفتند کمال تشکر و سپاسگذاری را دارم.

مراتب سپاسگذاری خود را از مدیر محترم گروه فیزیک جناب آقای دکتر نفیسی و اساتید گرانقدر، جناب آقای دکتر پژوهش، و جناب آقای دکتر عربی و جناب آقای دکتر مکتب داران و سرکارخانم فاطمه ابراهیمی و منشی محترم گروه فیزیک سرکارخانم نخعی ابراز می‌دارم.

بر خود لازم می‌دارم تشکر و سپاس ویژه خود را خدمت دوستان و سروران بزرگوار جناب آقای غلامحسین‌پور، جناب آقای حمید کاردانی، جناب آقای محمدتقی شیرزاد، جناب آقای مجتبی کمیلی، جناب آقای امین امیریان، جناب آقای محمدی، جناب آقای اطمینان، جناب آقای رضانی، سرکارخانم دیوانی، سرکارخانم عباسی، سرکارخانم حق‌طلب، سرکارخانم چهکندی نژاد و.... ابراز داشته و توفیق و سربلندی‌شان را از خداوند متعال آرزومندم.

چکیده

با توجه به اهمیت دانش اینکه چه تعداد نوترون از شکافت هسته‌های شکافت‌پذیر گسیل می‌شود و اهمیت این مسئله برای کنترل زنجیره‌های شکافت در راکتورهای هسته‌ای و آزمایشاتی که در این زمینه تا کنون در سراسر جهان صورت گرفته است، لذا در این تحقیق اقدام به محاسبه تعداد نوترون‌های گسیل شده از شکافت هسته‌های اورانیوم ۲۳۵ و نپتونیم ۲۳۷ و پلوتونیوم ۲۴۰ با استفاده از کد MCNP 4C شد که نتایج حاصله با داده‌های تجربی حاصل از آزمایش گروه خوخلوف و دیگران مقایسه شد که همخوانی خیلی خوبی با آن داده‌ها نشان داد. همچنین شبیه‌سازی مونت کارلو با استفاده از برنامه نویسی FORTRAN 90 صورت گرفت که داده‌های حاصل از این محاسبه نیز همخوانی خیلی خوبی با داده‌های تجربی حاصل از آزمایش این گروه داشت. با توجه به اهمیت نحوه ارتباط بین تعداد نوترون‌های گسیل شده از شکافت و انرژی نوترون فرودی القاکننده شکافت یک رابطه ای خطی با استفاده از روش کمترین مربعات به کمک برنامه نویسی FORTRAN 90 برای هر یک از این دو شبیه‌سازی و نیز برای داده‌های تجربی بدست آورده شد، که این روابط با نتایج اوهاسا مقایسه شد که همخوانی خیلی خوبی با این نتایج نیز بدست آمد.

واژگان کلیدی: شبیه‌سازی، نوترون، شکافت، مونت کارلو

فهرست مطالب

صفحه	عنوان
	فصل اول: مدل های هسته ای
۲	۱-۱ مدل های هسته ای
2	۱-۱-۱ مقدمه
۲	۱-۱-۲ مدل قطره مایع
۹	۱-۲-۱ مدل بوهر برای شکافت
۱۰	۱-۲-۱ نحوه تغییر شکل هسته
۱۱	۱-۲-۲ محاسبه شرط شکافت پذیری

فصل دوم: بررسی و تحلیل شکافت

۱۶	۱-۲ مقدمه
۱۸	۲-۲ انواع شکافت
۱۸	۳-۲ عامل ممانعت کننده شکافت خود به خود
۲۳	۴-۲ چه هسته هایی قابلیت شکافت خود به خودی را دارند
26	۵-۲ شکافت القایی
۳۱	۶-۲ بدست آوردن رابطه ای برای متوسط تعداد نوترون
۳۴	۷-۲ نرخ تغییر متوسط تعداد نوترون نسبت به انرژی نوترون فرودی
۳۵	۸-۲ رابطه متوسط تعداد نوترون، فقط وابسته به انرژی نوترون فرودی
۳۵	۹-۲ توزیع تعداد نوترون های حاصل از شکافت

فصل سوم: شبیه سازی نوترون های حاصل از شکافت به کمک کد MCNP 4C و زبان برنامه

نویسی فرترن

۳۸	۱-۳ مقدمه
۳۸	۲-۳ معرفی کد شبیه سازی MCNP 4C
۳۹	۱-۲-۳ روش کار کد MCNP 4C
۴۰	۲-۳-۲ دستور تعریف چشمه معمولی (SDEF)
۴۰	۳-۲-۳ دستور تکثیر (FM)

۴۲	۳-۲-۴ دستور تقسیم‌بندی انرژی در خروجی E_N
۴۲	۳-۲-۵ اجرای کد
۴۳	۳-۲-۶ سطح مقطع ها در MCNP 4C.....
۴۴	۳-۳ بررسی شکافت عناصر اورانیوم ۲۳۵ و پلوتونیوم ۲۳۷ و پلوتونیوم ۲۴۰
۴۴	۳-۳-۱ شرح آزمایش تجربی گروه خوشلوف
۴۵	۳-۳-۲ شبیه سازی به وسیله کد محاسباتی MCNP 4C آزمایش خوشلوف.....
۴۷	۳-۴ بررسی رابطه خطی بین متوسط تعداد نوترون‌های گسیل شده از شکافت بر حسب انرژی
۴۸	۳-۵ شبیه‌سازی تعداد نوترون‌های شکافت اورانیوم ۲۳۵ به کمک برنامه نویسی فرترن.....
۴۸	۳-۶ شرح شبیه‌سازی تعداد نوترون‌های شکافت اورانیوم ۲۳۵ با استفاده از روش مونت کارلو

فصل چهارم: بررسی نتایج حاصل از کد شبیه سازی MCNP 4C و برنامه فرترن

۵۸	۴-۱ مقایسه نتایج حاصل از کد محاسباتی MCNP 4C با داده‌های تجربی
۵۹	۴-۱-۱ مقایسه نتایج حاصل از کد محاسباتی MCNP 4C با داده‌های تجربی (اورانیوم ۲۳۵).....
۵۹	۴-۱-۲ مقایسه نتایج حاصل از کد محاسباتی MCNP 4C با داده های تجربی (نپتونیم ۲۳۷).....
۶۰	۴-۱-۳ مقایسه نتایج حاصل از کد محاسباتی MCNP 4C با داده های تجربی (پلوتونیوم ۲۴۰).....
	۴-۲ مقایسه داده‌های تجربی با نتایج شبیه‌سازی مونت کارلو به کمک فرترن (جهت بررسی متوسط تعداد نوترون اورانیوم ۲۳۵).....
۶۰	۴-۳ برآورد ارتباط بین نوترون‌های شکافت و انرژی نوترون فرودی
۶۲	۴-۳-۱ برآورد ارتباط بین نوترون‌های شکافت و انرژی نوترون فرودی در اورانیوم ۲۳۵.....
۶۳	۴-۳-۲ برآورد ارتباط بین نوترون‌های شکافت و انرژی نوترون فرودی در نپتونیم ۲۳۷.....
۶۷	۴-۳-۳ برآورد ارتباط بین نوترون‌های شکافت و انرژی نوترون فرودی در پلوتونیوم ۲۴۰.....
۶۸	۴-۴ برآورد ارتباط بین نوترون‌های شکافت و انرژی نوترون فرودی در حالت کلی.....
۷۴	نتیجه گیری
۷۵	پیشنهادات
۷۶	پیوست
۹۴	مراجع

فهرست شکل ها

صفحه	عنوان
	فصل اول: مدل های هسته ای
۴.....	شکل (۱-۱) محاسبه انرژی کولنی کره ای که به طور یکنواخت باردار شده است
	شکل (۲-۱) مدل مربوط به جمله عدم تقارن نوترونها و پروتونها که بنا به فرض دارای ترازهایی به فاصله مساوی Δ هستند. علامت \times معرف حالتی است که در ابتدا اشغال می باشند. در انتقال پروتون به حالت های نوترونی باید انرژی $3 \times 3\Delta$ صرف شود.
۶.....	شکل (۳-۱) سهم هر یک از جملات موجود در فرمول نیمه تجربی جرم در بازسازی انرژی بستگی متوسط نوکلئونها
۹.....	
	فصل دوم: بررسی و تحلیل شکافت
17.....	شکل (۱-۲) جدول تناوبی عناصر
19.....	شکل (۲-۲) چاه پتانسیل هسته ای و سد کولنی برای اورانیوم
	۲۳۸
20.....	شکل (۳-۲) انرژی بستگی هر نوکلئون در هسته.
22.....	شکل (۴-۲) سد پتانسیل برای شکافت خود به خود
23.....	شکل (۵-۲) تغییرات انرژی فعال سازی شکافت بر حسب عدد جرمی
25.....	شکل (۶-۲) طول عمرهای شکافت خود به خود
۲۶.....	شکل (۷-۲) نمایش تغییر شکل های هسته در فرآیند شکافت.
۲۷.....	شکل (۸-۲) انرژی پتانسیل هسته شکافته شده به صورت تابعی از فاصله بین پاره های شکافت
۳۰.....	شکل (۹-۲) شکافت اورانیوم ۲۳۵ القا شده بر اثر جذب نوترون
33.....	شکل (۱۰-۲) مراحل مختلف فرآیند شکافت
۳۶.....	شکل (۱۱-۲) توزیع تعداد نوترون های حاصل از شکافت

فصل سوم: شبیه سازی نوترون های حاصل از شکافت به کمک کد MCNP 4C و زبان برنامه نویسی فرترن

- شکل (۱-۳) واکنش هایی که ممکن است پس از پدیده شکافت حاصل از یک نوترون در کد MCNP روی دهند ۳۹
- شکل (۲-۳) ژئومتری آزمایش تجربی. ۴۵
- شکل (۳-۳) ژئومتری برای شبیه سازی MCNP 4C ۴۶

فصل چهارم: بررسی نتایج حاصل از کد شبیه سازی MCNP 4C و برنامه فرترن

- شکل (۱-۴) وابستگی متوسط تعداد نوترون های گسیل شده از شکافت اورانیوم ۲۳۵ به انرژی نوترون فرودی برای دو وضعیت داده های تجربی و داده های محاسباتی ۵۸
- شکل (۲-۴) وابستگی متوسط تعداد نوترون های گسیل شده از شکافت نپتونیم ۲۳۷ به انرژی نوترون فرودی برای دو وضعیت داده های تجربی و داده های محاسباتی ۵۹
- شکل (۳-۴) وابستگی متوسط تعداد نوترون های گسیل شده از شکافت پلوتونیوم ۲۴۰ به انرژی نوترون فرودی برای دو وضعیت داده های تجربی و داده های محاسباتی ۶۰
- شکل (۴-۴) وابستگی متوسط تعداد نوترون های گسیل شده از شکافت اورانیوم ۲۳۵ به انرژی نوترون فرودی (۰ تا ۱۲ MeV) برای دو وضعیت داده های تجربی و داده های محاسباتی ۶۱
- شکل (۵-۴) رابطه بین متوسط تعداد نوترون حاصل از شکافت و انرژی نوترون فرودی برای داده های تجربی اورانیوم ۲۳۵ ۶۳
- شکل (۶-۴) رابطه بین متوسط تعداد نوترون حاصل از شکافت و انرژی نوترون فرودی برای داده های حاصل از کد برای اورانیوم ۲۳۵ ۶۳
- شکل (۷-۴) بررسی دلیل خطی بودن فیت جهت داده های تجربی با استفاده از نرم افزار Origin ۶۵
- شکل (۸-۴) بررسی دلیل خطی بودن فیت جهت داده های حاصل از کد با استفاده از نرم افزار Origin ۶۵
- شکل (۹-۴) رابطه بین متوسط تعداد نوترون حاصل از شکافت و انرژی نوترون فرودی برای داده های تجربی نپتونیم ۲۳۷ ۶۶
- شکل (۱۰-۴) رابطه بین متوسط تعداد نوترون حاصل از شکافت و انرژی نوترون فرودی برای داده های حاصل از کد برای نپتونیم ۲۳۷ ۶۶
- شکل (۱۱-۴) رابطه بین متوسط تعداد نوترون حاصل از شکافت و انرژی نوترون فرودی برای داده های تجربی پلوتونیوم ۲۴۰ ۶۷

- شکل(۴-۱۲) رابطه بین متوسط تعداد نوترون حاصل از شکافت و انرژی نوترون فرودی برای داده های حاصل از کد برای پلوتونیوم ۲۴۰..... ۶۸
- شکل(۴-۱۳) ارتباط خطی متوسط تعدد نوترون گسیل شده از شکافت و انرژی نوترون القا کننده شکافت..... ۶۸
- شکل(۴-۱۴) نمودار متوسط تعداد نوترون های شکافت بر حسب انرژی نوترون فرودی برای عناصر شکافت پذیر مختلف .. ۷۱
- شکل(۴-۱۵)وابستگی عرض از مبدا رابطه خطی به عدد اتمی عناصر شکافت پذیر..... ۷۲
- شکل(۴-۱۶)وابستگی شیب رابطه خطی به عدد جرمی عناصر شکافت پذیر..... ۷۲

فهرست جدول ها

عنوان صفحه

فصل اول: مدل های هسته ای

جدول (۱-۱) توزیع فراوانی نوکلئیدها. ۷

جدول (۲-۱) انرژی زوجیت برای عناصر مختلف. ۷

فصل دوم: بررسی و تحلیل شکافت

جدول (۱-۲) انرژی های بحرانی برای شکافت. ۲۹

فصل سوم: شرح محاسبات انجام شده از طریق کد محاسباتی MCNP 4C و زبان برنامه نویسی فورترن

جدول (۱-۳) سطح مقطع واکنش ها بر حسب انرژی نوترون فرودی. ۴۹

جدول (۲-۳) احتمال انجام هر واکنش با استفاده از سطح مقطع واکنش ها. ۵۰

جدول (۳-۳) احتمال های مرتب شده واکنش ها. ۵۰

جدول (۴-۳) احتمال های تجمعی برای انرژی های مختلف. ۵۱

جدول (۵-۳) احتمال گسیل نوترون و احتمال تجمعی گسیل نوترون برای انرژی 1MEV. ۵۲

جدول (۶-۳) احتمال گسیل نوترون و احتمال تجمعی گسیل نوترون برای انرژی 2MEV. ۵۲

جدول (۷-۳) احتمال گسیل نوترون و احتمال تجمعی گسیل نوترون برای انرژی 3MEV. ۵۳

جدول (۸-۳) احتمال گسیل نوترون و احتمال تجمعی گسیل نوترون برای انرژی 4MEV. ۵۳

جدول (۹-۳) احتمال گسیل نوترون و احتمال تجمعی گسیل نوترون برای انرژی 5MEV. ۵۳

جدول (۱۰-۳) احتمال گسیل نوترون و احتمال تجمعی گسیل نوترون برای انرژی 6MEV. ۵۴

جدول (۱۱-۳) احتمال گسیل نوترون و احتمال تجمعی گسیل نوترون برای انرژی 7MEV. ۵۴

جدول (۱۲-۳) احتمال گسیل نوترون و احتمال تجمعی گسیل نوترون برای انرژی 8MEV. ۵۴

جدول (۱۳-۳) احتمال گسیل نوترون و احتمال تجمعی گسیل نوترون برای انرژی 9MEV. ۵۵

جدول (۱۴-۳) احتمال گسیل نوترون و احتمال تجمعی گسیل نوترون برای انرژی 10MEV. ۵۵

فصل چهارم: نتایج

- جدول (۴-۱) مقایسه متوسط تعداد نوترون‌های حاصل از شکافت اورانیوم ۲۳۵ حاصل از شبیه سازی مونت کارلو با کار گروه
خوخلوف و همکاران ۶۱
- پیوست ۷۶
- جدول (ب-۱) داده‌های تجربی خوخلوف و داده‌های حاصل از محاسبات با کد محاسباتی MCNP 4C برای تعداد نوترون‌های
گسیل شده از شکافت بر حسب انرژی نوترون فرودی ۸۹
- جدول (ب-۲) داده‌های تجربی آزمایش خوخلوف ۹۰
- جدول (ب-۳) ضرایب برای رابطه (۲-۳۲) و (۲-۳۳) ۹۱
- جدول (ب-۴) ارتباط احتمال گسیل تعداد نوترون‌ها از شکافت، با انرژی نوترون فرودی القا کننده شکافت برای اورانیوم ۲۳۵
(انرژی بر حسب MEV است) ۹۲
- جدول (ب-۵) ارتباط احتمال گسیل تعداد نوترون‌ها از شکافت، با انرژی نوترون فرودی القا کننده شکافت برای اورانیوم ۲۳۸
(انرژی بر حسب MEV است) ۹۲
- جدول (ب-۶) ارتباط احتمال گسیل تعداد نوترون‌ها از شکافت، با انرژی نوترون فرودی القا کننده شکافت برای اورانیوم ۲۳۸
(انرژی بر حسب MEV است) ۹۲
- جدول (ب-۷) ارتباط احتمال گسیل تعداد نوترون‌ها از شکافت خود به خود عناصر مختلف (انرژی بر حسب MEV است) ۹۳

فصل اول

مدل های هسته ای

۱-۱ مدل‌های هسته‌ای

۱-۱-۱ مقدمه

هر هسته دارای یک حالت انرژی معینی به نام حالت پایدار (یا حالت اصلی) و حالت‌های با انرژی بیشتر موسوم به حالت‌های برانگیخته می‌باشند. به وسیله هسته‌هایی که در حالت پایدار هستند، می‌توان تا حدودی نیروهای هسته‌ای را شناخت. اگر چه اجزای اصلی سازنده هسته‌ها کاملاً شناسایی شده‌اند، ولی هنوز برای هسته‌ها یک نوع ساختار کاملاً مشخص وجود ندارد.

مدل: یک نظریه است که از نظر ریاضی بدون مشکل و از نظر فیزیکی غنی باشد و در توصیف خاصیت‌های فیزیکی موفق باشد. معیار موفقیت هر مدلی را باید در دو نکته دانست: (۱) مدل باید بتواند خواص هسته‌ای تا کنون اندازه‌گیری شده را به طور قابل قبولی توضیح دهد، (۲) مدل باید خواص دیگری را پیش‌بینی کند که در آزمایش‌های جدیدی قابل اندازه‌گیری باشد. [3,13]

مدل‌های مختلفی که تاکنون در خصوص ساختار هسته بیان شده‌اند عبارتند از:

۱- مدل قطره مایع

۲- مدل لایه‌ای یا مدل ذره مستقل

۳- مدل گاز فرمی

۴- مدل یکنواخت

۵- مدل جمعی

۶- مدل استحاله آلفا

۱-۱-۲ مدل قطره مایع

این مدل هسته‌ای که یک مدل نیمه کلاسیک است، به وسیله فون وایس ذکر و دیگران بر مبنای تشابه قطره مایع با هسته استوار می‌باشد.

در این مدل بر نیروهای مربوط به تاثیر متقابل نوکلئون‌ها تکیه شده است. در واقع در این مدل، هسته آمیزه‌ای همگن از نوکلئون هاست که در آن نوکلئون‌ها به شدت با یکدیگر در حال برهم‌کنش هستند. در نتیجه، انرژی داخلی هسته تقریباً به طور مساوی میان نوکلئون‌های سازنده توزیع می‌شود، و در همان

حال نیروهای کشش سطحی شکل کروی هسته را حفظ می‌کند. این مدل به ویژه در توضیح شکافت هسته‌ای و هم چنین در محاسبه جرم اتمی ایزوتوپ‌هایی که اندازه‌گیری جرمشان بسیار دشوار است، موفق بوده است. فرض‌های اساسی که در مدل هسته‌ای قطره مایع در نظر گرفته می‌شود، عبارتند از [3,13]:

۱- هسته ماده غیر قابل تراکمی با چگالی بسیار بالایی است که برای آن رابطه $R \propto A^{\frac{1}{3}}$ برقرار است.

۲- نیروی هسته‌ای برای تمام نوکلئون‌ها یکسان بوده و به نوع نوکلئون (پروتون و یا نوترون) بستگی ندارد. به عبارت دیگر، در این مدل فرضیه استقلال باری نیروهای هسته‌ای مد نظر قرار می‌گیرد.

۳- نیروی هسته‌ای دارای برد بسیار کوتاه است و خاصیت اشباع پذیری دارد. بررسی کیفی این مدل:

۱- بنا بر فرضیات ۱ و ۳، جمله اولی که در انرژی بستگی هسته اثر می‌گذارد، جمله مربوط به عدد جرمی است. چنانچه می‌دانیم به استثنای هسته‌های خیلی سبک، انرژی بستگی هسته‌ها متناسب با حجم است. از طرفی چون حجم هسته نیز متناسب با A می‌باشد، لذا، جمله مربوط به این انرژی که موسوم به انرژی حجمی است را می‌توان به صورت زیر نوشت:

$$E_v = a_v A \quad (1-1)$$

که در آن a_v را ضریب حجمی گویند. انرژی حجمی مانند انرژی چسبندگی مایع معمولی است.

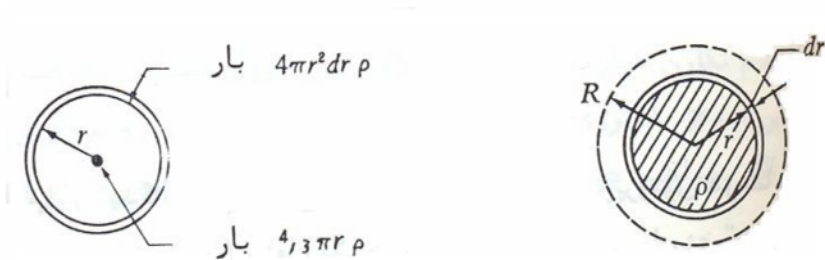
۲- انرژی کولنی بین پروتون‌ها باعث کاهش انرژی بستگی شده و بنا براین اثرش به صورت عبارتی با علامت منفی ظاهر می‌گردد. داده‌های مختلف در آزمایش‌ها نشان می‌دهد که سهم انرژی دافعه کولنی در انرژی بستگی به صورت ذیل است:

$$E_c = -\frac{3}{5} \frac{1}{4\pi\epsilon_0} \frac{Z(Z-1)e^2}{R} = -a_c \frac{Z(Z-1)}{A^{\frac{1}{3}}} \quad (2-1)$$

که در این رابطه $a_c = \frac{3}{5} \frac{e^2}{4\pi\epsilon_0 R_0}$ است. به ازای مقادیر مختلف R_0 ، مقادیر متفاوتی برای a_c حاصل می‌شود:

$$\begin{aligned} R_0 = 1/4 \text{ fm} & \quad a_c = 0/62 \text{ MeV} \\ R_0 = 1/2 \text{ fm} & \quad a_c = 0/72 \text{ MeV} \end{aligned} \quad (3-1)$$

برای درک بیش‌تر رابطه (۲-۱) یک بار کروی به شعاع r ، مطابق شکل ۱-۱ فرض می‌کنیم.



شکل (۱-۱) محاسبه انرژی کولنی کره ای که به طور یکنواخت باردار شده است [۱۹]

کار انجام شده جهت افزودن لایه ای به ضخامت dr بر روی کره فوق را می توان با فرض اینکه بار کره به شعاع r ($\frac{4}{3}\pi r^3 \rho$) در مرکز لایه متمرکز شده باشد، محاسبه کرد (شکل سمت راست ۱-۱). در این صورت انرژی پتانسیل دافعه کولنی هسته عبارت است از [۱۹]:

$$V_c = \frac{1}{4\pi\epsilon_0} \int_0^R \frac{4}{3}\pi r^3 \rho 4\pi r^2 dr \rho \frac{1}{r} = \frac{16}{15} \pi^2 \rho^2 R^5 \times \frac{1}{4\pi\epsilon_0} \quad (۴-۱)$$

از طرفی اگر هسته را به صورت یک کره با بار Ze ، که به طور یکنواخت باردار شده است، در نظر بگیریم چگالی بار آن $\rho = \frac{Ze}{\frac{4}{3}\pi R^3}$ است. پس:

$$V_c = \frac{3}{5} \frac{1}{4\pi\epsilon_0} \frac{Z^2 e^2}{R} \quad (۵-۱)$$

عبارت فوق شامل یک جمله خود انرژی، $\frac{3}{5} \frac{1}{4\pi\epsilon_0} \frac{e^2}{R}$ ، برای هر پروتون است، که با قرار دادن $Z=1$ حاصل می شود. لذا با کسر این جمله برای Z پروتون، یعنی $V'_c = \frac{3}{5} \frac{1}{4\pi\epsilon_0} \frac{Ze^2}{R}$ ، انرژی برهم کنش صحیح بین تمام جفت پروتون ها به دست می آید:

$$E_c = V_c - V'_c = \frac{1}{4\pi\epsilon_0} \frac{3Z(Z-1)e^2}{5R} \quad (۶-۱)$$

۳- نظر به اینکه هسته ها دارای ابعاد معینی بوده و برای آن ها یک شکل کروی در نظر می گیرند، اثر متقابل ذراتی که بر روی سطح هسته قرار گرفته اند کمتر از ذرات داخل هسته است و این قابل قیاس با کشش سطحی مایعات می باشد. به عبارت دیگر، اثر کشش سطحی با توجه به این واقعیت توجیه می شود که بستگی نوکلئون هایی که در سطح هسته قرار دارند، کمتر از نوکلئون های درون هسته است. بنابراین، از انرژی بستگی باید مقداری انرژی که متناسب با سطح هسته است کاسته گردد. این انرژی موسوم به انرژی سطحی بوده و به وسیله رابطه زیر بیان می گردد:

$$E_s = -a_s A^{\frac{2}{3}} \quad (۷-۱)$$

۴- انرژی بستگی هسته‌ای به کمیت دیگری موسوم به انرژی عدم تقارن وابسته است، زیرا این جمله تمایل دارد که هسته‌ها را بر حسب تعداد نوترون‌ها و پروتون‌ها متقارن سازد. مطالعه هسته‌های ایزوبار نشان می‌دهد که برای یک مقدار مشخص از A ، یک هسته با Z معین وجود دارد که از هسته‌های دیگر پایدارتر است. در یک هسته سبک، که در آن اثر نیروی دافعه کولنی بسیار کم است، تقریباً $Z = \frac{A}{2}$ می‌باشد. این مطلب با توجه به این حقیقت که تعداد پروتون‌ها و نوترون‌ها در چنین هسته‌هایی تقریباً مساوی می‌باشد، روشن می‌گردد. در واقع این خاصیت یعنی متقارن بودن هسته از لحاظ تعداد پروتون‌ها و نوترون‌ها را می‌توان عاملی برای پایداری هسته در نظر گرفت. لذا، در ناحیه هسته‌های سبک خارج شدن از این حالت تقارنی سبب ناپایداری هسته می‌شود. بنابراین باید جمله‌ای در رابطه با انرژی بستگی وارد کنیم که این نکته را شامل شود. در ناحیه هسته‌های سنگین، به دلیل وجود نیروی دافعه کولنی بالا، برای پایداری هسته باید تعداد نوترون‌ها بیشتر از تعداد پروتون‌ها باشد، تا نیروی جاذبه هسته‌ای اثر دافعه کولنی را خنثی کند. این نکته خود باعث بهم خوردن تقارن می‌شود، ولی در اینجا بهم خوردن تقارن سبب پایداری هسته می‌گردد. از این رو سهم این جمله باید در ناحیه هسته‌های سنگین ناچیز باشد. در واقع، در غیاب اثر نیروی کولنی، انحراف از شرط $Z = \frac{A}{2}$ منجر به ناپایداری و بنابراین کاسته شدن انرژی بستگی می‌گردد به عبارت دیگر، می‌توان گفت که بدون در نظر گرفتن نیروی دافعه کولنی، هر چه Z از $\frac{A}{2}$ دورتر باشد، هسته ناپایدارتر است. بزرگی این اثر و یا بزرگی این دوری، با جمله‌ای که متناسب با زیادی نوترون ($A-2Z$) می‌باشد، مشخص می‌گردد. ولی در عمل برای آن که اثر زیادی و یا کمبود نوترون در دو جهت یکی باشد، در رابطه اصلی، جمله مربوطه را با توان ۲ دخالت می‌دهیم. بعلاوه، همان گونه که اشاره شد، اثر تقارن متناسب با عکس عدد جرمی بوده و از این رو انرژی عدم تقارن را می‌توان به صورت زیر نوشت:

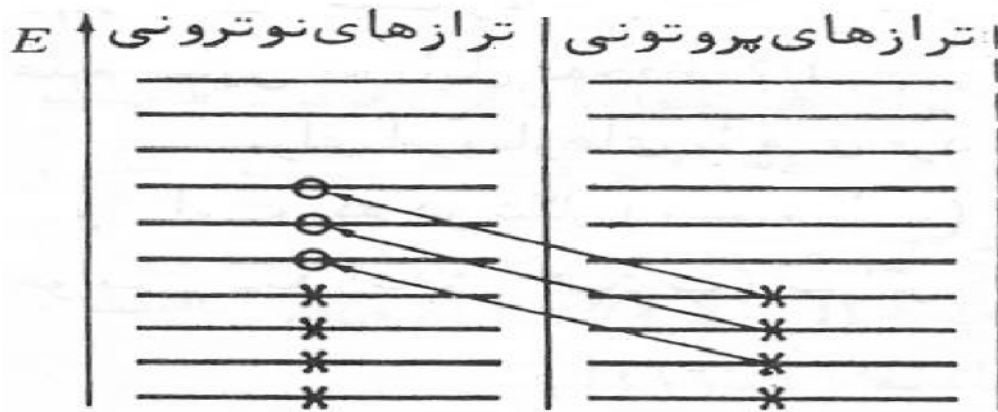
$$- a_{\tau} \frac{(A-2Z)^2}{A} \quad (۸-۱)$$

از دیدگاه کوانتومی رابطه فوق قابل حصول است. چنانچه می‌دانیم، از نظر مکانیک کوانتومی، یک ذره در یک جعبه بسته در ترازهای معین انرژی قرار می‌گیرد. چون نوکلئون‌ها نیز از قوانین مکانیک کوانتومی پیروی می‌نمایند، لذا برای نوترون‌ها و پروتون‌ها در هسته نیز باید ترازهای مشخص انرژی در نظر گرفت. برای سهولت فرض‌های زیر را اختیار می‌کنیم:

۱- فاصله ترازهای انرژی از هم برابر بوده و به فاصله Δ از هم قرار گرفته‌اند، و در هر تراز، طبق اصل طرد پاولی، فقط یک نوکلئون قرار می‌گیرد.

۲- در غیاب آثار کولنی، نیروهای بین نوترون‌ها با نیروهای بین پروتون‌ها، برابرند. لذا، انتظار می‌رود حالت‌های انرژی نوترون‌ها و پروتون‌ها نیز یکسان باشند.

طبق تعریف انرژی عدم تقارن عبارت است از اختلاف بین انرژی بستگی هسته ای یک هسته با اعداد نوترونی و پروتونی Z و N با انرژی بستگی هسته ای هسته ایزوباری که در آن اعداد نوترونی و پروتونی اش هر دو مساوی $\frac{A}{2}$ باشد. برای آن که هسته اول از روی هسته دوم ساخته شود، باید در هسته دوم v پروتون به v نوترون تبدیل شود.



شکل (۲-۱) مدل مربوط به جمله عدم تقارن نوترونها و پروتونها که بنا به فرض دارای ترازهایی به فاصله مساوی Δ هستند. علامت \times معرف حالتی هستند که در ابتدا اشغال می‌باشند. در انتقال پروتون به حالتی نوترونی باید انرژی $3 \times 3\Delta$ صرف شود. [۳]

در این صورت، اعداد نوترونی و پروتونی هسته اول عبارت خواهد بود با:

$$N = \frac{1}{2}A + v \quad \Rightarrow \quad v = \frac{1}{2}(N - Z)$$

$$Z = \frac{1}{2}A - v$$

از طرفی انرژی هر یک از v پروتون باید به اندازه $v\Delta$ افزایش یابد، بنابراین کل انرژی ای که صرف این کار می شود، عبارت است از:

$$v^2\Delta = \frac{1}{4}(N - Z)^2\Delta$$

و $N = A - Z$ است، لذا داریم:

$$v^2\Delta = \frac{1}{4}(A - 2Z)^2\Delta$$

از سوی دیگر چون $\Delta \propto \frac{1}{A}$ می‌باشد، نتیجه می‌شود:

$$\text{کل انرژی صرف شده} \propto \frac{(A-2Z)^2}{A}$$

که همان رابطه (۸-۱) می‌باشد. همچنین از رابطه $v^2\Delta = \frac{1}{4}(N - Z)^2\Delta$ ملاحظه می‌شود که چون این عبارت همیشه مثبت است و با توجه به علامتش از انرژی بستگی هسته کم می‌شود، انرژی بستگی یک هسته با $N \neq Z$ همیشه نسبت به هسته با $N = Z$ کمتر خواهد بود.